

Характер нелинейных флаттерных колебаний упругой прямоугольной пластинки при пост-критических сверхзвуковых скоростях

*Петросян В.А. , Шмавонян А.А.
Российско-Армянский университет (Армения, Ереван)
vahagpetrosyan1@gmail.com
harut.shmavonyan@gmail.com*

Ключевые слова: нелинейные колебания, изотропная пластинка, обтекающий поток, устойчивость аэродинамических систем, флаттер

Առաձգական ուղղանկյուն սալի ոչ գծային ֆլատերային տատանումների բնույթը հետերիտիկական գերձայնային արագություններում

*Պետրոսյան Վ. Ա., Շմավոնյան Հ. Ա.
Հայ-Ռուսական համալսարան (Հայաստան, Երևան)
vahagpetrosyan1@gmail.com
harut.shmavonyan@gmail.com*

Ամփոփում: Դիտարկվում է գերձայնային գազով շրջհոսվող ուղղանկյուն առաձգական սալի ոչ գծային տատանումները: Ուսումնասիրությունը իրականացվել է հաշվի առնելով ոչ գծային երկու տեսակները՝ աերոդինամիկ (քառակուսի և խորանարդ) և երկրաչափական (խորանարդ): Հայտնի է [1], որ շրջհոսման բացակայության դեպքում սալի ոչ գծային տատանումների հաճախականության կախվածությունը ամպլիտուդայից կրում է խիստ բնույթ, այսինքն՝ ամպլիտուդայի մեծանալուն համընթաց տատանումների հաճախականությունը նույնպես մեծանում է: Ներկայիս աշխատանքում հաստատված է, որ շրջհոսման առկայությունը կարող է դառնալ աղբյուր ինչպես քանակային, այնպես էլ որակային փոփոխությունների՝ տվյալ կախման բնույթի համար:

Վճռորոշ բառեր՝ ոչ գծային տատանումներ, առաձգական սալ, շրջհոսող գազ, աերոդինամիկ համակարգերի կայունություն, ֆլատեր.

The nature of nonlinear flutter oscillations of an elastic rectangular plate at post-critical supersonic speeds

*Petrosyan V. A., Shmavonyan H. A.
Russian-Armenian University (Armenia, Yerevan)
vahagpetrosyan1@gmail.com
harut.shmavonyan@gmail.com*

Abstract: Considered the problem of nonlinear oscillations of an isotropic rectangular plate flown around a supersonic gas flow. The study was conducted taking into account both types of nonlinearity: aerodynamic (quadratic and cubic) and geometric (cubic). It is known [1] that the dependence of the frequency of nonlinear oscillations of a plate on the amplitude in the absence of a flowing stream is rigid, i.e. with increasing amplitude, the oscillation frequency increases. In the present work, it is established that the presence of a streaming flow can become a source of both a quantitative and a qualitative change in the nature of this monotonously increasing dependence.

Keywords: nonlinear oscillations, isotropic plate, ambient flow, stability of aerodynamic systems, flutter.

Введение

Комплекс аэродинамических труб и газодинамических установок содержит более чем 60 установок, обеспечивающих условий полета при скоростях от 10 м/с до чисел, соответствующих $M=25$. Натурные дозвуковые аэродинамические трубы Т-101 и Т-104 дают возможность

проводить испытания крупногабаритных моделей тяжелых летательных аппаратов, маневренных самолетов с различным составом вооружения, натурных крылатых ракет с работающим двигателем, а также исследование аэродинамики, устойчивости, управляемости и флаттера раз-

личных летательных аппаратов при дозвуковых скоростях.

В дозвуковых трубах Т-102 и Т-103 ведут исследования на аэродинамически подобных моделях характеристик самолетов различного назначения.

Вертикальная аэродинамическая труба Т-105 служит для исследования моделей вертолетов и изучения штопорных качеств самолетов.

Трансзвуковые аэродинамические трубы переменной плотности Т-106, Т-112, Т-128 предназначены для исследований моделей военных и гражданских самолетов для окончательной отработки аэродинамики в широком диапазоне чисел Маха (до $M=1,05$ в Т-106 и $M=1,7$ в Т-128) и чисел Рейнольдса.

Труба Т-128 обладает уникальной системой адаптивной перфорации, практически исключая влияние стенок рабочей части на характеристики моделей, а оснащение ее сменными рабочими частями обеспечивает проведение всех известных видов аэродинамических экспериментов и существенно сокращает затраты времени на замену моделей и подготовку экспериментов.

Сверхзвуковые аэродинамические трубы Т-108, Т-109, Т-113, Т-114 служат для изучения моделей сверхзвуковых самолетов и ракет. Исследуются аэродинамические характеристики, устойчивость и управляемость, флаттер, реверс, разделение объектов, аэродинамика силовых установок в широком диапазоне летных чисел Маха (от 0,4 до 6,0).

Наличие в аэродинамической трубе Т-109 многорежимного регулируемого сопла расширяет ее экспериментальные возможности при исследованиях воздухозаборников силовых установок, флаттера ЛА.

Гиперзвуковые аэродинамические трубы Т-116 и Т-117 служат для испытаний моделей гиперзвуковых самолетов, ракет, космических аппаратов при скорости потока числа $M=20$.

Специализированные аэродинамические трубы СВС-2, ТПД и Т-131 служат для отработки аэродинамики силовых установок во всем летном диапазоне скоростей, вплоть до гиперзвуковых.

В вакуумных аэродинамических трубах ВАТ-3, ВАТ-102, ВАТ-103, ВАТ-104 проводятся исследования для создания объектов воздушно-космической техники.

Некоторые из аэродинамических труб ЦАГИ достойны занесения в книгу рекордов Гиннесса. Из них выделяется натурная дозвуковая аэродинамическая труба Т-101 с размером рабочей части 14×24 м, трансзвуковая труба Т-128 с рабочей частью размером $2,75 \times 2,75$ м, сверх- и гиперзву-

ковые трубы Т-116 и Т-117 с рабочей частью диаметром 1 м.

Установки СМГДУ с магнитогидродинамическим разгоном потока до скорости более 8000 м/с или УГСД с мультипликатором давления, в котором достигаются давления торможения в форкамере до 5000 атм, вообще не имеют аналогов в мире.

В составе лаборатории прочности включены залы с силовым полом и необходимое оборудование для статических и ресурсных испытаний натуральных конструкций в сборе и отдельных агрегатов, а также электрогидравлические испытательные машины и стенды с усилием от 1 до 2500 т. Зал статических испытаний обладает площадью силового пола 3600 м^2 , а зал ресурсных испытаний — 6300 м^2 .

Комплекс теплопрочностных и акустических камер состоит из термовакуумных установок, установки МАК -1 с размерами камеры $2 \times 1,5 \times 0,25$ м и уровнем генерируемого шума до 162 дБ, реверберационной камеры РК-1500 с испытательным боксом $9 \times 11 \times 14$ м и уровнем генерируемого шума до 163 дБ, тепло-прочностной вакуумной камеры ТПВК, предназначенной для исследования прочности натуральных космических аппаратов. Этот комплекс обеспечивает испытания конструкций при воспроизведении реальных силовых, температурных и акустических нагрузок, действующих на летательные аппараты во всем диапазоне их применения.

Двигательные и компрессорные стенды часто используются для экспериментальных исследований гиперзвуковых воздушно-реактивных двигателей (ГПВРД), комбинированных силовых установок (ТРД+ПВРД, ТРД+ПВРД+ЖРД), процессов горения топлива в до- и сверхзвуковых камерах сгорания (ПВРД и ГПВРД), воздухозаборников и сопел силовых установок с ВРД, систем газоструйного управления ЛА, компрессоров ТРД и ВРД.

Экспериментальная база для исследования динамики полета летательных аппаратов состоит из различных пилотажных стендов, а также вычислительных комплексов для отработки структуры и функционирования цифровых систем управления, моделирования динамики движения аппаратов в реальном времени и др.

Рассмотрим тонкую изотропную прямоугольную пластинку постоянной толщины h . Прямоугольная система координат α, β, γ выбрана так, что координатная плоскость α, β , совпадает со срединной плоскостью пластинки, а координатные оси α и β и направлены по сторонам рассматриваемой пластинки. Пусть, далее, пластинка обтекается с одной стороны сверхзвуковым потоком газа с невозмущенной скоростью

\vec{u} , направленной вдоль оси 0α . Принимаются следующие предположения:

- гипотеза Кирхгофа о недеформируемых нормалях [18];
- основные предположения теории гибких пластин, считая, что нормальные перемещения сравнимы с толщиной пластинки [1];
- избыточное давление газа представляется по приближенной формуле “поршневой теории” [19,20].

На основе принятых предположений получается следующая нелинейная система дифференциальных уравнений движения пластинки [2]:

$$\frac{1}{Eh} \Delta^2 F + \frac{\partial^2 w}{\partial \alpha^2} \frac{\partial^2 w}{\partial \beta^2} - \left(\frac{\partial^2 w}{\partial \alpha \partial \beta} \right)^2 = 0, \quad (1)$$

$$D \Delta^2 w - \frac{\partial^2 w}{\partial \alpha^2} \frac{\partial^2 F}{\partial \beta^2} - \frac{\partial^2 w}{\partial \beta^2} \frac{\partial^2 F}{\partial \alpha^2} + 2 \frac{\partial^2 w}{\partial \alpha \partial \beta} \frac{\partial^2 F}{\partial \alpha \partial \beta} + \rho_0 h \frac{\partial^2 w}{\partial t^2} + \left(\rho_0 h \varepsilon + \frac{\varkappa p_\infty}{a_\infty} \right) \frac{\partial w}{\partial t} + \varkappa p_\infty \left[M \frac{\partial w}{\partial \alpha} + \frac{\varkappa + 1}{4} M^2 \left(\frac{\partial w}{\partial \alpha} \right)^2 + \frac{\varkappa + 1}{12} M^3 \left(\frac{\partial w}{\partial \alpha} \right)^3 \right] = 0, \quad (2)$$

Здесь

$$D = \frac{Eh^3}{12(1-\mu^2)}, \quad M = \frac{u}{a_\infty}, \quad a_\infty = \frac{\varkappa p_\infty}{\rho_\infty},$$

$w(\alpha, \beta, t)$ – прогиб пластинки, M – число Маха, a_∞ – скорость звука для невозмущенного газа, \varkappa – показатель политропы, μ – коэффициент Пуассона, ρ_0 – плотность материала пластинки, P_∞ и ρ_∞ – давление и плотность газа в невозмущенном состоянии, ε – коэффициент линейного затухания, $F = F(\alpha, \beta, t)$ – функция напряжений.

При исследовании вопросов устойчивости к уравнениям (1)–(2) присоединяются также условия на контуре пластинки, а именно, здесь рассматривается шарнирно опертая по всему контуру прямоугольная пластинка ($0 \leq \alpha \leq a$, $0 \leq \beta \leq b$). Тогда, следуя [2], граничные условия задачи принимаются в виде:

при $\alpha = 0, \alpha = a$

$$w = 0, \quad M_\alpha = -D \left(\frac{\partial^2 w}{\partial \alpha^2} + \mu \frac{\partial^2 w}{\partial \beta^2} \right) = 0, \quad (3)$$

$$S^\alpha = 0, T_\alpha^0 = 0, \quad (4)$$

при $\beta = 0, \beta = b$

$$w = 0, \quad M_\beta = -D \left(\frac{\partial^2 w}{\partial \beta^2} + \mu \frac{\partial^2 w}{\partial \alpha^2} \right) = 0, \quad (5)$$

$$S^\beta = 0, T_\beta^0 = 0, \quad (6)$$

где $T_\alpha^0, T_\beta^0, S^0$ – средние значения усилий на краях пластинки.

Приближенное решение уравнения (2), удовлетворяющее условиям (3) и (5) будем искать в виде [2]

$$w(\alpha, \beta, t) = f_{11}(t) \sin \lambda_1 \alpha \cdot \sin \mu_1 \beta + f_{21}(t) \sin \lambda_2 \alpha \cdot \sin \mu_1 \beta, \quad \left(\lambda_i = \frac{i\pi}{a}, \mu_k = \frac{k\pi}{b} \right). \quad (7)$$

Подставив (7) в (1) найдем функцию F , удовлетворяющую граничным условиям. Для

определения $f_{ik}(t)$ воспользуемся уравнением (2). Подставляя (7) и найденное выражение для F в (2) и применяя метод Бубнова-Галеркина для определения безразмерных неизвестных функций

$x_1 = f_1(t)/h$, $x_2 = f_2(t)/h$ получим следующую нелинейную систему обыкновенных дифференциальных уравнений [2,13]:

$$\begin{aligned} \frac{d^2x_1}{d\tau^2} + \chi \frac{dx_1}{d\tau} + x_1 - \frac{2}{3}k\nu x_2 + k\nu^2 [\alpha_{11}x_1^2 + \alpha_{12}x_2^2 + \nu x_2 (\beta_{11}x_1^2 + \beta_{12}x_2^2)] + Qx_1 (\gamma_{11}x_1^2 + \gamma_{12}x_2^2) = 0 \\ \frac{d^2x_2}{d\tau^2} + \chi \frac{dx_2}{d\tau} + \gamma^2 x_2 + \frac{2}{3}k\nu x_1 + k\nu^2 [\alpha_{21}x_1x_2 + \nu x_1 (\beta_{21}x_1^2 + \beta_{22}x_2^2)] + Qx_2 (\gamma_{21}x_1^2 + \gamma_{22}x_2^2) = 0. \end{aligned} \quad (8)$$

Здесь, наряду с безразмерным временем $\tau = \omega_1 t$, введены обозначения

$$\left. \begin{aligned} \omega_i^2 &= \frac{1}{\rho_0 h} \left[D(\lambda_i^2 + \mu_i^2)^2 - \lambda_i^2 p_\alpha^0 - \mu_i^2 p_\beta^0 \right] \quad (i=1,2), \\ k &= \frac{4\alpha p_\infty}{\rho_0 \omega_1^2 h^2}, \quad Q = \frac{h}{16\rho_0 \omega_1^2}, \quad \nu = M \frac{h}{a}, \quad \gamma = \frac{\omega_2}{\omega_1}, \quad \chi = \frac{2}{\omega_1} \left(\varepsilon + \frac{\alpha p_\infty}{\rho_0 h a_\infty} \right), \end{aligned} \right\} \quad (9)$$

$$\left. \begin{aligned} \alpha_{11} &= \frac{2}{9}(\alpha+1), \quad \alpha_{12} = \frac{56}{45}(\alpha+1), \quad \alpha_{21} = \frac{16}{45}(\alpha+1), \\ \beta_{11} &= \beta_{21} = \frac{\pi^2}{40}(\alpha+1), \quad \beta_{22} = \frac{11\pi^2}{70}(\alpha+1), \quad \beta_{12} = -\frac{9\pi^2}{70}(\alpha+1), \\ \gamma_{11} &= E\eta(\lambda_1^4 + \mu_1^4), \quad \gamma_{12} = \gamma_{21} = 4\gamma_{11} + E\eta \left(\frac{81}{\Delta_{\lambda_1 \mu_2}} + \frac{1}{\Delta_{\lambda_2 \mu_1}} \right) \lambda_1^4 \mu_1^4, \quad \gamma_{22} = E\eta(\lambda_2^4 + \mu_2^4), \end{aligned} \right\} \quad (10)$$

где ω_1 и ω_2 – частоты первой и второй формы малых собственных колебаний пластинки, ν – приведенный параметр скорости.

Решению нелинейной задачи, как правило, предшествует анализ соответствующей линейной задачи. Это объясняется тем, что: а) на основе линейной задачи можно найти критическое значение параметра $\nu = \nu_{cr}$ (следовательно и критическое значение скорости обтекающего потока $u_{cr} = ah^{-1}\nu_{cr}a_\infty$ или $M_{cr} = ah^{-1}\nu_{cr}$), при котором невозмущенное состояние пластинки становится неустойчивым относительно малых возмущений, и б) указанное критическое значение u_{cr} (или M_{cr} или ν_{cr}), будет необходимым и при исследовании задачи устойчивости в нелинейной постановке.

Соответствующая (8) линейная система допускает решения в виде $x_i = y_i \exp(\lambda\tau)$. В случае малых значений ν , все характеристические показатели λ лежат в левой полуплоскости комплексного переменного, и тривиальное решение $w = 0$ асимптотически устойчиво по отношению к малым возмущениям. Значение параметра $\nu = \nu_{cr}$, при котором два из характеристических показателей становятся чисто мнимыми, а остальные по-прежнему лежат в левой полуплоскости, является критическим и соответствует критической скорости панельного флаттера в линейной постановке этой задачи. Согласно этому, получается следующая формула определения критической скорости флаттера в случае выбранной формы потери устойчивости пластинки [2]:

$$\nu_{cr} = \frac{3}{4} \frac{\gamma^2 - 1}{k} \sqrt{1 + \frac{2\chi^2(\gamma^2 + 1)}{(\gamma^2 - 1)^2}}. \quad (12)$$

Переходим к исследованию нелинейной задачи, описываемой нелинейной системой (8). Эта система отличается от аналогичных систем устойчивости гибких пластин нагруженных консервативными силами, наличием членов с квадратичными нелинейностями. Указанные члены, имеющие аэродинамическое происхождение, характеризуют несимметричность нелинейности, присущую к задачам устойчивости гибких оболочек. Поэтому, приближенное периодическое решение системы (8) будем искать в виде [10]

Здесь A_i, B_i, C_i – неизвестные постоянные и $\theta = \omega\omega_1^{-1}$ ($i=1,2$); ω – неизвестная частота нелинейных колебаний; точками обозначены члены, содержащие гармоники.

Подставим решение (14) в систему (8) и приравняем к нулю коэффициенты при свободном члене, $\cos\theta\tau$ и $\sin\theta\tau$ (члены, содержащие гармоники пренебрегаются). Получающаяся при этом система нелинейных алгебраических уравнений довольно громоздка для исследования и здесь не приводится. Для получения приближенного решения этой системы предполагается, что [10]: а) затухание системы достаточно мало ($\chi|B_i| \ll |A_i|, |B_i| \ll |A_i|; (i=1,2)$), и б) рассматриваемая аэроупругая система совершает установившиеся колебание с конечной амплитудой вокруг состояния, бесконечно мало отличающегося от невозмущенного ($|A_i| \gg |C_j|; j=1,2$). Тогда пренебрегая степенями выше первой и произведения величин B_1, B_2, C_1 и C_2 , получается система нелинейных алгебраических уравнений [], которая в силу своей громоздкости, здесь не приводится. Согласно принятому предположению о малости затухания получаем:

$$B_1 \approx 0, B_2 \approx 0 \quad \text{при} \quad \chi \approx 0.$$

Выражая C_1 и C_2 через A_1 и A_2 , подставляя найденные выражения в соответствующие уравнения, для определения амплитуд колебаний рассматриваемой аэроупругой системы A_1 и A_2 в зависимости от параметров θ и v , при $\chi \approx 0$ получаем следующую систему:

$$\begin{aligned} A_1(1-\theta^2) - \frac{2}{3}kvA_2 + 2kv^2\alpha_{11}A_1C_1 + 2kv^2\alpha_{12}A_2C_2 + \\ + \frac{3}{4}kv^3A_2(\beta_{11}A_1^2 + \beta_{12}A_2^2) + \frac{3}{4}QA_1(\gamma_{11}A_1^2 + \gamma_{12}A_2^2) = 0, \\ A_2(\gamma^2 - \theta^2) + \frac{2}{3}kvA_1 + kv^2\alpha_{21}(A_1C_2 + A_2C_1) + \\ + \frac{3}{4}kv^3A_1(\beta_{21}A_1^2 + \beta_{22}A_2^2) + \frac{3}{4}QA_2(\gamma_{21}A_1^2 + \gamma_{22}A_2^2) = 0. \end{aligned} \quad (15)$$

Здесь

$$C_1 = -\frac{kv^2}{2\Delta} [(\alpha_{11}A_1^2 + \alpha_{12}A_2^2)\Delta_2 - \alpha_{21}A_1A_2\Delta_4], \quad C_2 = -\frac{kv^2}{2\Delta} [\alpha_{21}A_1A_2\Delta_1 - (\alpha_{11}A_1^2 + \alpha_{12}A_2^2)\Delta_3] \quad (16)$$

где

$$\begin{aligned} \Delta_1 = 1 + \frac{3}{2}Q\gamma_{11}A_1^2 + \frac{1}{2}Q\gamma_{12}A_2^2 + kv^3\beta_{11}A_1A_2, \quad \Delta_2 = \gamma^2 + kv^3\beta_{22}A_1A_2 + \frac{3}{2}Q\gamma_{22}A_2^2 + \frac{1}{2}Q\gamma_{21}A_1^2 \\ \Delta_3 = \frac{2}{3}kv + \frac{3}{2}kv^3\beta_{21}A_1^2 + \frac{1}{2}kv^3\beta_{22}A_2^2 + Q\gamma_{21}A_1A_2, \\ \Delta_4 = -\frac{2}{3}kv + \frac{3}{2}kv^3\beta_{12}A_2^2 + \frac{1}{2}kv^3\beta_{11}A_1^2 + Q\gamma_{12}A_1A_2, \quad \Delta = \Delta_1\Delta_2 - \Delta_3\Delta_4. \end{aligned}$$

Система (15) решается численно при следующих исходных данных: $E = 7.3 \cdot 10^{10} \text{ Н/м}^2$; $\mu = 0.34$; $\rho_0 = 2.79 \cdot 10^3 \text{ кг/м}^3$ (дюралюминий), $\alpha = 1.4$; $\rho_\infty = 1.29 \text{ кг/м}^3$; $a_\infty = 340.29 \text{ м/с}$ (воздух). Исследована зависимость амплитуды (в точке $(a/2, b/2, 0)$ пластинки) установившихся флаттерных колебаний A (в рассматриваемом случае $A = A_1$) от параметра θ при различных значениях v , h/a и a/b . Известно [1], что в отсутствие обтекающего потока зависимость частоты нелинейных колебаний пластинки θ от амплитуды A носит жесткий характер, т.е. с увеличением амплитуды частота колебаний возрастает. В работах [2;3] исследована указанная зависимость как в случае докритических, так и в критических стадиях. В указанных работах установлено, что

- если $a/b > 1$, то существует интервал $[\theta_1, \theta_2]$ изменения частоты θ такой, что если $\theta < \theta_1$, то невозможно возбудить флаттерные колебания. При $\theta \in [\theta_1, \theta_2]$ функция $A(\theta)$ является однозначной, при $\theta > \theta_2$ функция $A(\theta)$ становится двузначной;
 - с увеличением скорости обтекающего потока длина отрезка $[\theta_1, \theta_2]$ стремится к нулю;
 - с увеличением скорости обтекающего потока характер амплитудно-частотной зависимости может существенно меняться. А это значит, что характер амплитудно-частотной зависимости нелинейных колебаний пластин обтекаемых сверхзвуковым потоком газа (благодаря аэродинамической нелинейности) идентичен характеру указанной зависимости в случае нелинейных собственных колебаний оболочек;
 - с дальнейшим увеличением скорости обтекающего потока область определения функции $A(\theta)$ из полубесконечной области $[\theta_1, +\infty)$ превращается в замкнутый отрезок $[\theta^*, \theta^*]$. Т.е. существует интервал $[\theta^*, \theta^*]$ изменения частоты θ , вне которого невозможно возбудить установившиеся флаттерные колебания. При этом, если $\theta \in [\theta^*, \theta^*]$, то значения амплитуды флаттерных колебаний находятся на границах замкнутых областей;
 - предельное значение частоты $\bar{\theta}^*$ (меньше которого невозможно возбудить флаттерные колебания), будучи больше единицы, увеличивается с уменьшением a/b ; б) установившиеся флаттерные колебания существуют при частотах $\theta > \bar{\theta}^*$;
 - если отношение a/b меньше единицы, то функция $A(\theta)$ определена в конечном интервале $[\theta^*, \theta^*]$, а если a/b достаточно меньше единицы – в полубесконечном интервале $[\theta^*, \infty)$. В обоих случаях функция $A(\theta)$ является многозначной функцией;
 - отличие от случая $v = 0$, где возможно возбудить нелинейные колебания только с частотой $\theta > \gamma$, в случае $v = v_{cr}$ флаттерные колебания можно возбудить с частотой намного меньше γ .
- Причем область изменения допустимых частот (область определения функции $A(\theta)$) является конечной, длина которой зависит от геометрии пластинки;
- отличие от случая $v = 0$, где возможно возбудить нелинейные колебания только с частотой $\theta > \gamma$, при $v = v_{cr}$ флаттерные колебания можно возбудить с частотой намного меньше γ и область изменения частоты является полубесконечная область $[\theta^*, +\infty)$, где $\theta^* < \gamma$.

В настоящей работе исследована амплитудно-частотная зависимость рассматриваемых прямоугольных пластин в послекритической стадии ($v > v_{cr}$). Для этого случая функции $A(\theta)$, найденные численным методом, приведены в таблицах 1 и 2, на основе которых построены рисунки 1-3.

Рисунки 1 и 2 показывают, что

- характер амплитудно-частотной зависимости при $v > v_{cr}$ качественно совпадает со случаем $v = v_{cr}$. Помимо этого, по сравнению со случаем $v = v_{cr}$ имеют место следующие количественные отклонения: а) график функции $A(\theta)$ оторван от оси абсцисс; б) в случае относительно толстых пластин область определения функции $A(\theta)$ является отрезок $[\theta^*, \theta^*]$, который с уменьшением отношения a/b расширяется с обеих сторон и левая граница интервала изменения частоты θ^* при определенном значении a/b может находиться левее точки $\theta = 1$ (рис.1).
- Качественно новой зависимостью является рис.3, который показывает, что если v достаточно больше от v_{cr} и пластинка сравнительно толстая, то: а) область определения

функции $A(\theta)$ является конечный интервал вида $[0, \theta^*]$; б) в отличии от случая $v \leq v_{cr}$, флаттерные колебания могут существовать и при $0 \leq \theta < 1$; с) существует определенное значение частоты θ^* такое, что возбудить колебания с частотой больше θ^* невозможно.

Таблица 1. Значения амплитуды флаттерных колебаний при $v > v_{cr}$ и $b = 3a$.

v	θ	1	1.5	2	$\gamma=2.5$	3	4
	h/a						
$v = 1.2v^*$	1/80	-	0.848 0.565	0.621 0.302	-	-	-
	1/200	-	-	2.503 0.061	4.249 0.731	5.486 0.781	7.691 0.735
$v = 1.5v^*$	1/80	0.544 0.442	0.487 0.346	0.29 0.2	-	-	-
	1/200	-	-	-	3.978 1.307	5.367 1.116	7.647 1.073

Таблица 2. Значения амплитуды флаттерных колебаний при $v = 2v_{cr}$ и $a = 80h$.

θ	0	1	2	3.5	4	5	6	7
a/b								
1/5	0.554	0.5334	0.46	0.192	-	4.871	7.471	9.437
	0.401	0.3652	0.275	0.081	-	3.854	3.575	3.856
1/3	0.526	0.503	0.421	0.111	-	6.311	8.972	11.247
	0.392	0.354	0.258	0.055	-	3.473	3.55	3.902

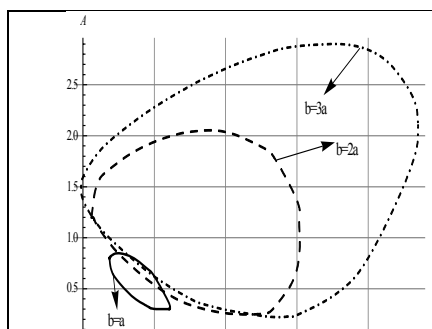


Рис.1. $v = 1.2v_{cr}$ и $a = 80h$.

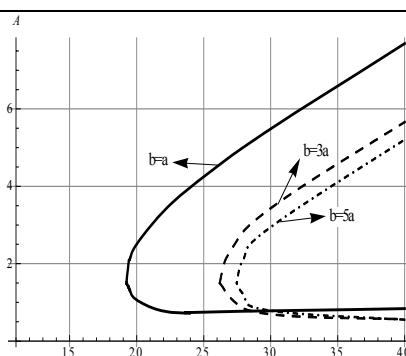


Рис.2. $v = 1.2v_{cr}$ и $a = 200h$.

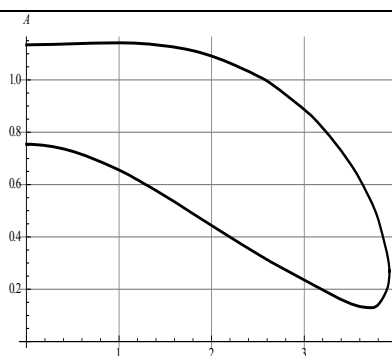


Рис.3. $v = 1.5v_{cr}$ и $a = 80h, b = 3a$.

Таким образом, установлена возможность существования незатухающих нелинейных колебаний в случае после-критических скоростей. Выявлен характер амплитудно-частотной зависимости нелинейных колебаний и исследовано влияние присутствия обтекающего потока на характер указанной зависимости. Установлен также, что переход из одного типа амплитудно-частотной зависимости к другому можно регулировать не только (вплоть до невозможности возбуждения подобных колебаний) соответствующим выбором геометрических и физических параметров рассматриваемой аэроупругой системы, но и величиной скорости обтекающего потока.

Литература

1. Вольмир А.С. Нелинейная динамика пластинок и оболочек. -М.: Наука, 1972. -432 с.
2. Болотин В.В. Неконсервативные задачи теории упругой устойчивости. - М.: Физматгиз, 1961. -339 с.
3. Алгазин С.Д., Кийко И.А. Флаттер пластин и оболочек. -М.: Наука, 2006, -247 с.

4. Новичков Ю.Н. Флаттер пластин и оболочек //Итоги науки и технологии. Механика деформируемых твердых тел, М., Наука, 1978. т.11. с.67-122.
5. Хедежпет Д. Флаттер прямоугольных свободно опертых панелей при больших сверхзвуковых скоростях. Сб. "Механика" ИЛ, N2. 1958. с.103-125.
6. Мовчан А.А. О колебаниях пластинки, движущейся в газе. ПММ, 1956. -Т.20.-Вып.2. с.211-222.
7. Miles J. W., Supersonic flutter of a cylindrical shell, Journ. Aeronaut. Sci. 24, № 2 (1957); 25, № 5 (1958).
8. Г.Е.Багдасарян, М.А.Микилян, Р.О.Сагоян Нелинейный флаттер ортотропной прямоугольной пластинки. Сборник научных трудов международной конференции "Актуальные проблемы механики сплошной среды", 2010, т.1, с. 118-123.
9. Baghdasaryan G.Y., Mikilyan M.A. & Marzocca P. On the Stability of Flexible Orthotropic Rectangular Plate in Supersonic Flow: Amplitude-Speed Dependency in Pre- and Post- Critical Flight Conditions. Journal of Aerospace Engineering, 10.1061/(ASCE)AS.1943-5525.0000246 (Jul. 19, 2012), ISSN: 0893-1321, 2012.
10. Багдасарян Г.Е. Об устойчивости ортотропных пологих оболочек, обтекаемых сверхзвуковым потоком газа, Изв.АН СССР ОТН Механика и машиностроение, 1961, N1, с. 92-98.
11. P. Marzocca, L. Librescu, D.H. Kim, I. Lee, S. Schober "Generalized Transonic Unsteady Aerodynamics via Computational-Fluid-Dynamics Indicial Approach," AIAA Journal, Vol. 43, No. 4, April 2005, pp.915-921.
12. 19. D.-H. Kim, I. Lee, P. Marzocca, L. Librescu, S. Schober "Nonlinear Aeroelastic Analysis of an Airfoil Using CFD-Based Indicial Approach," Journal of Aircraft, Vol. 42, No.5, September–October 2005, pp. 1340-1344.
13. Болотин В. В., Гаврилов Ю. В., Макаров Б. П. и Швейко Ю. Ю., Нелинейные задачи устойчивости плоских панелей при больших сверхзвуковых скоростях, Изв. АН СССР, ОТН, «Механика и машиностроение», № 3, 1959.
14. Fung Y. C, On two-dimensional panel flutter, Journ. Aeronaut. Sci. 25, № 3 (1958).
15. Шен С, Приближенное исследование нелинейных флаттерных задач, Сб. «Механика», № 4, ИЛ, 1959.
16. Багдасарян Г.Е., Микилян М.А., Сагоян Р.О., Марзока П. Влияние сверхзвукового потока на характер амплитудно-частотной зависимости нелинейных колебаний гибкой пластинки. Изв. НАН РА, Механика, 2013, 66 N3, с. 24-37.
17. Багдасарян Г.Е., Микилян М.А., Сагоян Р.О. Характер амплитудно-частотной зависимости нелинейных колебаний гибкой пластинки при критических скоростях. Прикладная математика и механика, Прикладная математика и механика, Гюмри, 2014, Вып.А, N1, с. 20-39.
18. Власов В.З. Общая теория оболочек и ее приложения в технике. Гостехтеориздат, Москва, 1949.
19. Ashley H., Zartarian C. Piston theory – a new aerodynamic tool for the aeroelastician. Journ. Aeronaut. Sci. 23, N6, 1956.
20. Илюшин А.А. Закон плоских сечений при больших сверхзвуковых скоростях. ПММ, 1956, т.XX, вып.6.
21. Меркин Д.П. Введение в теорию устойчивости движения. М.Наука, 1971, -312с.
22. Швейко Ю.Ю. Устойчивость круговой цилиндрической оболочки в потоке газа. Изв. АН СССР, ОТН, 1960, N6.
23. Гнуни В.Ц. К теории динамической устойчивости слоистых анизотропных пологих оболочек. Изв. АН Арм.ССР, 13, #1, 1960.
24. Багдасарян Г.Е., Микилян М.А., Сагоян Р.О., Марзока П. Влияние сверхзвукового потока на характер амплитудно-частотной зависимости нелинейных колебаний гибкой пластинки. Изв. НАН РА, Механика, 2013, 66 N3, с. 24-37.
25. Багдасарян Г.Е., Микилян М.А., Сагоян Р.О. Характер амплитудно-частотной зависимости нелинейных колебаний гибкой пластинки при критических скоростях. Прикладная математика и механика, Прикладная математика и механика, Гюмри, 2014, Вып.А, N1, с. 20-39.